

اثر موقعیت آب‌بندی بر ارتفاع بالج در هیدروفرمینگ لوله‌های آلومینیومی*

محمد مهدی کسائی^(۱) جواد شهبازی کرمی^(۲) بهنام عباس‌زاده^(۳) سیدجلال هاشمی^(۴) حسن مسلمی نائینی^(۵)

چکیده در این مقاله روش آب‌بندی جدیدی برای فرایند هیدروفرمینگ لوله به‌کار گرفته شده است که هدف از آن حذف نیروی اصطکاک در سطح تماس لوله و قالب است. این روش آب‌بندی در بالج آزاد لوله‌های آلومینیومی از جنس AA6063 به‌صورت تجربی مورد آزمایش قرار گرفت و کرنش‌های حد گلوئی شدن، توزیع ضخامت و ارتفاع بالج نمونه‌ها اندازه‌گیری شد. نتایج نشان داد با استفاده از روش آب‌بندی جدید در مقایسه با روش آب‌بندی متداول، جریان مواد به ناحیه تغییر شکل تسهیل می‌گردد و در نتیجه ارتفاع بالج لوله‌های آلومینیومی افزایش می‌یابد. فرایند بالج آزاد لوله تحت شرایط فرایندی مختلف در نرم‌افزار آباکوس شبیه‌سازی شد. در این شبیه‌سازی‌ها برای پیش‌بینی گلوئی شدن، از منحنی حد شکل‌دهی به‌دست آمده از آزمایش‌های تجربی استفاده شد. نتایج نشان داد با افزایش ضریب اصطکاک، تغذیه محوری و طول لوله، ارتفاع بالج لوله‌های آلومینیومی در روش آب‌بندی جدید در مقایسه با روش آب‌بندی متداول افزایش می‌یابد.

واژه‌های کلیدی هیدروفرمینگ لوله؛ آب‌بندی؛ اصطکاک؛ ارتفاع بالج؛ ضخامت.

Effect of Sealing Position on Bulge Height in Hydroforming of Aluminum Tubes

M.M. Kasaei J. Shahbazi Karami B. Abbaszadeh S.J. Hashemi H. Moslemi Naeini

Abstract In this paper, a new sealing method has been applied in tube hydroforming process to eliminate the friction force between the tube and the die. The new sealing method was experimentally examined in the free bulge test of AA6063 aluminum tubes and necking limit strains, thickness and bulge height of specimens were measured. The results showed that the new sealing method compared to the conventional sealing method improves the material flow to the deformation zone and, therefore, increases the bulge height of aluminum tubes. Finite element simulations of the free bulge test were performed in ABAQUS software under the different process parameters. In these simulations, forming limit curve obtained from the experimental tests was utilized to predict the necking. The results showed that the increase of the friction coefficient, the axial feed and the initial length of tub increase the bulge height of aluminum tubs in the new sealing method compared to the conventional sealing method.

Key Words Tube Hydroforming; Sealing; Friction; Bulge height; Thickness.

* تاریخ دریافت مقاله ۹۵/۱۱/۵ و تاریخ پذیرش آن ۹۶/۵/۲۵ می‌باشد. DOI: 10.22067/fum-mech.v29i1.62078

(۱) استادیار، گروه مهندسی مکانیک، دانشکده مهندسی صنایع و مکانیک، واحد قزوین، دانشگاه آزاد اسلامی، قزوین، ایران.

kasaei@qiau.ac.ir

(۲) دانشجوی دکتری، دانشکده مهندسی مکانیک، دانشگاه تربیت دبیر شهید رجایی، تهران.

(۳) دانشجوی دکتری، دانشکده مهندسی مکانیک، دانشگاه تربیت مدرس، تهران.

(۴) استادیار، بخش مهندسی مکانیک، مؤسسه آموزش عالی کار، قزوین.

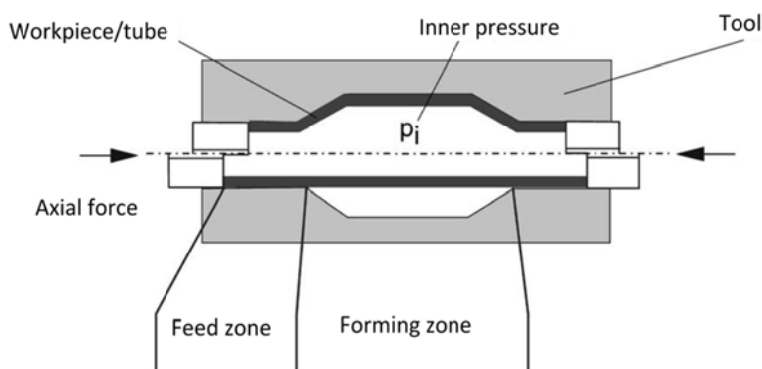
(۵) استاد، دانشکده مهندسی مکانیک، دانشگاه تربیت مدرس، تهران.

مقدمه

(Feed zone) و ناحیه تغییرشکل (Forming zone) وجود دارد که در شکل (۱) نشان داده شده‌اند. در ناحیه تغذیه، لوله از ابتدا تا انتهای فرایند در تماس با قالب می‌باشد و تغییر سطح مقطع در آن روی نمی‌دهد. لوله در این ناحیه در اثر نیروی محوری اعمالی توسط سنبه‌ها در حین انجام فرایند به سمت ناحیه تغییرشکل حرکت داده می‌شود تا بدین ترتیب جریان مواد به سمت ناحیه تغییرشکل تسهیل گردد و مقدار تغییرشکل لوله افزایش یابد. در ناحیه تغییرشکل برخلاف ناحیه تغذیه، لوله در ابتدا در تماس با قالب نمی‌باشد ولی با اعمال فشار داخلی و آغاز تغییرشکل، لوله بالج می‌شود و به تدریج در تماس با قالب قرار می‌گیرد. در فرایند هیدروفرمینگ لوله شرایط ایده‌آل تغییرشکل زمانی به دست خواهد آمد که در انتهای فرایند حفره قالب به طور کامل پر شود یا به عبارت دیگر لوله تغییرشکل یافته به طور کامل در تماس با قالب قرار بگیرد. با توجه به شرایط تماسی در ناحیه تغذیه و ناحیه تغییرشکل می‌توان نتیجه گرفت که اصطکاک در فرایند هیدروفرمینگ لوله از اهمیت ویژه‌ای برخوردار است. به نحوی که بسیاری از عیوب ایجاد شده در محصولات تولید شده در این فرایند در ارتباط با آن می‌باشند.

هیدروفرمینگ لوله، یکی از فرایندهای شکل‌دهی فلزات در حال گسترش می‌باشد که برای ساخت قطعات پیچیده از لوله مورد استفاده قرار می‌گیرد [1]. در این فرایند با اعمال فشار سیال، لوله تغییرشکل می‌یابد و شکل قالبی را که در داخل آن قرار گرفته است به خود می‌گیرد (شکل ۱). این فرایند به ویژه در صنایع خودروسازی به علت مزیت‌های آن نسبت به فرایند استمپینگ از جمله کاهش وزن، کیفیت بالاتر، عملیات اضافی کمتر، بهبود استحکام ساختاری و افزایش سفتی کاربرد ویژه‌ای پیدا کرده است [2].

در فرایند هیدروفرمینگ ابتدا قطعه‌کار که به صورت لوله است در فضای بین قالب‌ها قرار می‌گیرد. سپس سنبه‌ها به سمت لوله حرکت و دو انتهای لوله را به طور کامل آب‌بند می‌کنند. در ادامه روغن وارد فضای داخلی لوله می‌گردد و با پرس شدن آن، سطح داخلی لوله تحت فشار قرار می‌گیرد. با ادامه ورود روغن و افزایش بیشتر فشار، لوله دچار تغییرشکل می‌شود و شکل قالب‌ها را به خود می‌گیرد. به منظور بهبود شرایط تغییرشکل معمولاً سنبه‌ها به هنگام اعمال فشار به سمت لوله حرکت می‌کنند. در قالب، دو ناحیه اصلی به نام ناحیه تغذیه



شکل ۱ طرح‌واره‌ای از فرایند هیدروفرمینگ لوله [3]

پژوهش‌های مختلفی درباره اصطکاک در فرایند هیدروفرمینگ لوله انجام شده است که می‌توان آنها را در دو دسته مورد بررسی قرار داد. دسته اول پژوهش‌هایی هستند که هدف از آنها پیش‌بینی ضریب اصطکاک در سطح تماس لوله و قالب است. از جمله پژوهش‌های انجام‌شده در این زمینه طراحی آزمونی برای پیش‌بینی ضریب اصطکاک در ناحیه تغذیه فرایند هیدروفرمینگ لوله است [2, 4, 5]. در این آزمون یک لوله که تحت فشار داخلی قرار دارد در قالب استوانه‌ای حرکت داده می‌شود و با استفاده از نیروسنج، نیروی تماسی و نیروی اصطکاک اندازه‌گیری می‌شود و براساس قانون کولمب (Coulomb's law)، ضریب اصطکاک محاسبه می‌گردد. ولرتسن و پلانک [3] روشی را برای اندازه‌گیری اصطکاک در ناحیه تغییرشکل ارائه دادند که در آن از آزمون آبتینگ لوله استفاده می‌شد. آن‌ها با انجام آزمایش‌های متعدد نشان دادند رابطه خطی بین شیب کرنش ضخامت و ضریب اصطکاک وقتی به صورت لگاریتمی رسم می‌شوند، وجود دارد. پلانک و همکارانش [1] در ادامه پژوهش‌های خود، بر مبنای آزمون تجربی طراحی‌شده در مرجع [3]، مدل تحلیلی برای به‌دست آوردن ضریب اصطکاک در ناحیه تغییرشکل ارائه کردند. در این آزمون آنها سه رابطه مختلف را برای محاسبه فشار تماسی به‌کار بردند.

وای و همکارانش [6] با انجام آزمون‌های شبیه‌سازی‌کننده شرایط اصطکاک در ناحیه تغذیه، نشان دادند با افزایش فشار داخلی، ویسکوزیته روانکار و استحکام لوله و همچنین کاهش قطر لوله ضریب اصطکاک در ناحیه تغذیه کاهش پیدا می‌کند. آنها برای اندازه‌گیری ضریب اصطکاک در ناحیه تغییرشکل آزمون پر شدن گوشه (Corner-filled test) را توسعه دادند. نتایج آنها نشان داد ضریب اصطکاک در ناحیه تغییرشکل با افزایش استحکام ماده افزایش می‌یابد. فیورنتینو و همکارانش [7] آزمون جدیدی را برای

اندازه‌گیری اصطکاک در ناحیه تغذیه ارائه کردند که اساس آن بر مبنای اثرگذاری اصطکاک بر توزیع ضخامت دیواره لوله بود. یان و همکارانش [8] آزمونی را برای تعیین ضریب اصطکاک در فرایند هیدروفرمینگ پالسی ارائه کردند. ابدلکفی و همکارانش [9] از مدل ابرن-هو [10] برای پیش‌بینی ضریب اصطکاک در فرایند هیدروفرمینگ لوله با قالبی با مقطع مربعی استفاده کردند.

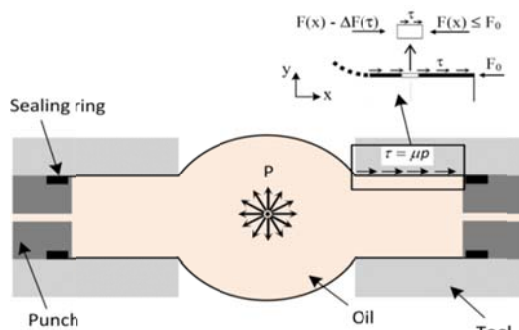
در دسته دوم پژوهش‌هایی که در زمینه اصطکاک در فرایند هیدروفرمینگ لوله انجام شده است، اثر ضریب اصطکاک و روانکارهای مختلف بر تغییرشکل لوله در این فرایند مورد بررسی قرار گرفته است. اربن و هو [10] مدل تحلیلی برای تغییرشکل لوله در داخل قالبی با مقطع عرضی مربعی ارائه کردند. نتایج آنها نشان داد افزایش ضریب اصطکاک سبب افزایش تغییرات ضخامت در مقطع عرضی و افزایش نازک‌شدگی گوشه‌ها می‌گردد. ژو و همکارانش [11] به بررسی فرایند هیدروفرمینگ مقطع دوزنقه‌ای با زاویه ۹۰ درجه پرداختند. نتایج آنها نشان داد با افزایش ضریب اصطکاک، فشار ترکیبگی کاهش پیدا می‌کند.

نیخاره و همکارانش [12] به مقایسه فرایند هیدروفرمینگ لوله فشار بالا و فشار پایین برای فولاد TRIP پرداختند. آنها فرایند هیدروفرمینگ با قالب مربعی را شبیه‌سازی کردند و نشان دادند که در نظر گرفتن اصطکاک در شرایط فشار بالا بر روی توزیع تنش معادل در مقطع عرضی و توزیع ضخامت اثر قابل‌توجهی می‌گذارد درحالی‌که در فرایند هیدروفرمینگ فشار پایین این چنین نیست. فیورنتینو و همکارانش [13] با ایجاد شرایط نامتقارن در ناحیه تغذیه فرایند هیدروفرمینگ لوله توانستند یک قطعه Y شکل را به صورت شبه‌ازاد شکل دهند. آن‌ها برای ایجاد شرایط نامتقارن در فرایند هیدروفرمینگ لوله، طول لوله در ناحیه تغذیه یک طرف قالب را از طرف دیگر متفاوت در نظر گرفتند تا با اثرگذاری بر شرایط

پایه‌سازی شد و نتایج آن با نتایج روش آب‌بندی متداول مقایسه گردید. در این پژوهش از شبیه‌سازی اجزای محدود برای بررسی دقیق‌تر چگونگی اثرگذاری روش آب‌بندی بر شکل‌پذیری لوله در فرایند بالج آزاد استفاده شد و مکانیک تغییرشکل مورد تحلیل قرار گرفت. در شبیه‌سازی‌های اجزای محدود برای پیش‌بینی گلوئی شدن از منحنی حد شکل‌دهی استفاده شد که با استفاده از آزمون‌های تجربی انجام شده در این پژوهش به دست آمده بود.

اصول روش‌های آب‌بندی متداول و جدید

در فرایند هیدروفرمینگ لوله به صورت متداول آب‌بندی از دو انتهای لوله انجام می‌شود. این روش آب‌بندی که از این پس در این مقاله «روش آب‌بندی متداول» نامیده می‌شود در شکل (۲) به صورت شماتیک برای بالج آزاد لوله، نشان داده شده است.



شکل ۲ طرح‌واره‌ای از آزمون بالج آزاد لوله با روش آب‌بندی متداول

در روش آب‌بندی متداول، ناحیه تغذیه لوله تحت فشار بالای روغن قرار دارد. بنابراین نیروی اصطکاک در سطح تماس لوله و قالب، قابل توجه است. با حرکت از انتهای لوله به سمت ناحیه تغییرشکل با افزایش سطح تماس لوله و قالب، نیروی اصطکاک به صورت پیوسته افزایش می‌یابد و در نتیجه اثر نیروی اعمال شده توسط سنبه‌ها برای تغذیه محوری لوله، کاهش می‌یابد (شکل ۲). از آنجایی که کاهش تدریجی

تماسی، بتوانند میزان تغذیه متفاوتی را ایجاد کنند.

ابدلکفی و همکارانش [14] فرایند هیدروفرمینگ لوله را بدون تغذیه محوری و با قالب‌های با سطح مقطع مربعی، مستطیلی، ذوزنقه‌ای متقارن و ذوزنقه‌ای با زاویه 90 درجه انجام دادند. نتایج آنها نشان داد که استفاده از تفلن در سطح تماس لوله و قالب به عنوان روانکار، اثر قابل توجهی بر روی توزیع ضخامت در قطعه می‌گذارد به طوری که توزیع ضخامت یکنواختی در مقایسه با شرایط بدون روانکار به دست می‌آید.

فیورنتینو و همکارانش [15] به بررسی اثر روانکارهای مختلف (خشک، روغن، تفلن، تفلن با روغن، اسپری تفلن و روغن گرافیتی) بر فرایند هیدروفرمینگ لوله پرداختند. نتایج آنها نشان داد بهترین عملکرد از لحاظ ارتفاع بالج و یکنواختی توزیع ضخامت به هنگام روانکاری با تفلن به دست می‌آید که کمترین ضریب اصطکاک را در فرایند ایجاد می‌کند. این در حالی است که بهترین نتایج از لحاظ کیفیت سطح در حالت بدون روانکار به دست آمد.

در حال حاضر در صنایع خودروسازی تقاضای بالایی برای کاهش وزن و افزایش مقاومت به خوردگی قطعات وجود دارد. آلیاژهای آلومینیوم با نسبت استحکام به وزن بالا و مقاومت به خوردگی مناسب می‌توانند به صورت گسترده برای برآورده کردن این نیازها به کار روند. یکی از فرایندهایی که قابلیت ساخت قطعات مورد نیاز این صنایع را دارد، فرایند هیدروفرمینگ لوله است. از آنجایی که شکل‌پذیری آلیاژهای آلومینیوم در دمای محیط کم است [16] هر روشی که بتواند به افزایش شکل‌پذیری این آلیاژها کمک کند می‌تواند دامنه کاربرد این آلیاژها را افزایش دهد.

باتوجه به این توضیحات، در این پژوهش روش آب‌بندی جدیدی مورد استفاده قرار گرفته است که هدف از آن حذف نیروی اصطکاک در ناحیه تغذیه لوله می‌باشد. این روش آب‌بندی در آزمون بالج آزاد

پیاده‌سازی روش آب‌بندی جدید

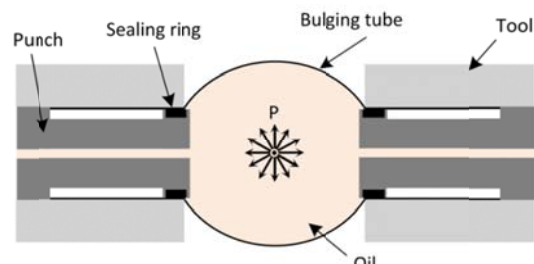
به منظور پیاده‌سازی روش آب‌بندی جدید مطابق شکل (۴)، افزونه‌های ویژه‌ای طراحی شد که این افزونه‌ها به صورت پیچی به سنبه‌های روش آب‌بندی متداول متصل می‌شوند.

طول این افزونه‌ها متناسب با طول ناحیه تغذیه می‌باشد. این شیوه طراحی اجازه می‌دهد که بتوان لوله‌هایی با طول ناحیه تغذیه مختلف را تنها با تغییر افزونه‌ها بالچ کرد. در این طرح، افزونه‌ای که در سمت چپ قرار گرفته است دارای یک سوراخ سرتاسری می‌باشد تا امکان ورود روغن به داخل لوله فراهم شود. عرض و اثر بر روی افزونه‌ها، تعیین‌کننده حداکثر میزان تغذیه محوری در هر سمت لوله است.

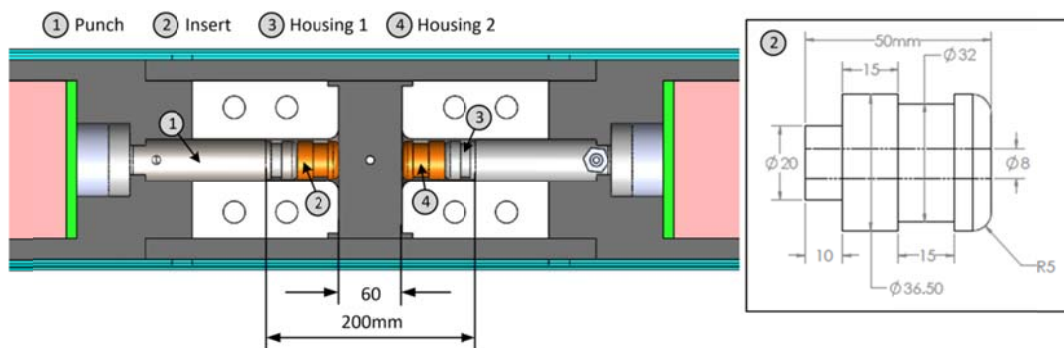
آزمایش‌های تجربی

لوله مورد استفاده در آزمایش‌های تجربی از آلیاژهای آلومینیوم با شماره استاندارد AA6063 می‌باشد که دارای قطر خارجی ۴۰ میلی‌متر و ضخامت اولیه ۱/۵ میلی‌متر است. لوله بدون درز بوده و با فرایند اکستروژن تولید شده است. در ادامه به تشریح آزمایش‌های تجربی انجام‌شده در این مقاله پرداخته می‌شود.

اثر نیروی اعمال‌شده توسط سنبه‌ها منجر به کاهش جریان مواد از ناحیه تغذیه به ناحیه تغییر شکل می‌شود. در این پژوهش روش آب‌بندی جدیدی به کار گرفته شد. در این روش، آب‌بندی از ابتدای ناحیه تغییر شکل اعمال می‌گردد تا فشار داخلی در ناحیه تغذیه لوله اعمال نشود و در پی آن نیروی اصطکاک در سطح تماس لوله و قالب حذف گردد. این روش آب‌بندی که در شکل (۳) به صورت طرح‌واره نشان داده شده است از این پس «روش آب‌بندی جدید» نامیده می‌شود. در این روش آب‌بندی، بخشی از سنبه که دارای قطری کوچک‌تر از قطر لوله است به داخل لوله می‌رود و آب‌بندی از ابتدای ناحیه تغییر شکل انجام می‌گیرد. در این روش حداکثر میزان جابه‌جایی سنبه در هر طرف برابر با عرض و اثر آب‌بندی می‌باشد زیرا در صورتی که میزان جابه‌جایی بیش از عرض و اثر باشد، و اثر از ناحیه تغذیه خارج و آب‌بندی از بین می‌رود.



شکل ۳ طرح‌واره‌ای از آزمون بالچ آزاد لوله با روش آب‌بندی جدید



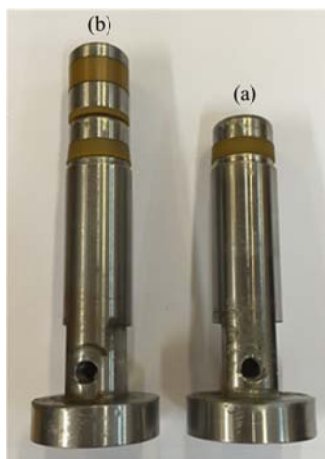
شکل ۴ آزمون بالچ آزاد لوله همراه با افزونه طراحی شده برای روش آب‌بندی جدید

داخلی توسط فشارسنج دیجیتال و تغذیه محوری به وسیله یک LVDT اندازه گیری می شود و باتوجه به مسیر بارگذاری مورد نظر میزان باز یا بسته شدن شیر تناسبی که در مسیر هر دو پمپ هیدرولیک قرار دارند توسط کامپیوتر کنترل می شود.

شکل (۶) سنبه های به کار رفته در روش آب بندی متداول و روش آب بندی جدید را نشان می دهد. همان طور که در این شکل مشخص است تفاوت سنبه روش آب بندی جدید با روش آب بندی قدیم، افزونه ای است که به صورت پیچی به آن متصل می گردد.



شکل ۵ دستگاه بالج آزاد لوله



شکل ۶ سنبه (الف) روش آب بندی متداول، (ب) روش آب بندی جدید

عرض واشر افزونه برابر با ۱۵ میلی متر می باشد که اجازه جابه جایی حداکثر سنبه را در هر طرف به همین میزان می دهد. به منظور افزایش ایمنی، آب بندی در

خواص مکانیکی. برای به دست آوردن خواص مکانیکی لوله، نمونه های آزمون کشش تک محوری مطابق استاندارد ASTM-E8M در راستای طولی لوله به وسیله برش کاری سیمی بریده شدند. نمونه های آماده شده بر روی دستگاه کشش یونیورسال تحت کشش قرار گرفتند که نتایج آن در جدول (۱) آمده است.

جدول ۱ خلاصه خواص مکانیکی لوله ای آلومینیومی از جنس AA6063 با ضخامت 1.5 mm

افزایش طول قبل از شکست	استحکام کششی نهایی	استحکام تسلیم	مدول الاستیک
$A(\%)$	σ_u (MPa)	σ_y (MPa)	E (GPa)
16.03	169.89	91.76	70

آزمون بالج آزاد لوله. به منظور مقایسه عملکرد روش آب بندی جدید با روش آب بندی متداول از آزمون بالج آزاد لوله استفاده شد. در این آزمون در ناحیه تغییر شکل، تماسی بین لوله و قالب وجود ندارد بنابراین به خوبی می توان اثرات استفاده از روش آب بندی جدید را بر تغییر شکل لوله مورد بررسی قرار داد بدون آنکه شرایط تماسی در ناحیه تغییر شکل بر آن اثرگذار باشد.

به منظور انجام بالج آزاد لوله های آلومینیومی تحت منحنی های بارگذاری مختلف از دستگاه هیدروفورمینگ دانشگاه تربیت مدرس که دارای قابلیت کنترل فشار داخلی و تغذیه محوری است استفاده شد. شکل (۵) نمایی از این دستگاه را نشان می دهد. در این شکل قالب هایی که در دو طرف برای نگهداری دو انتهای لوله مورد استفاده قرار می گیرند، جک های اعمال تغذیه محوری و سنبه ها و نازل ورود روغن مشخص هستند.

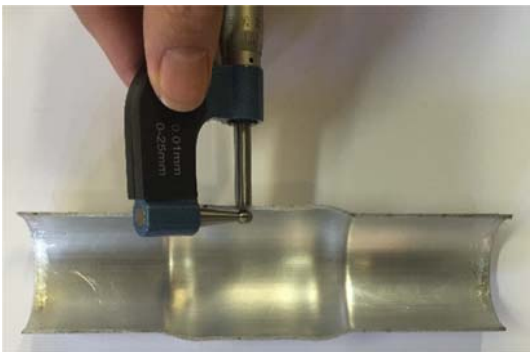
در این دستگاه برای اعمال فشار داخلی و همچنین تأمین فشار لازم برای حرکت جک های اعمال تغذیه محوری از دو پمپ هیدرولیکی استفاده می شود. فشار

(۸) آمده است.

برای اندازه‌گیری ضخامت لوله پس از تغییر شکل، لوله در راستای طولی در صفحه‌ای عمود بر صفحه گذرنده از محل پارگی وایرکات شد. سپس با استفاده از یک میکرومتر مخصوص با دقت 0.01 میلی‌متر ضخامت در لبه‌های بریده‌شده اندازه‌گیری شد. شکل (۹) نحوه اندازه‌گیری ضخامت را بر روی مقطع لوله نشان می‌دهد.



شکل ۸ روش اندازه‌گیری ارتفاع بالچ



شکل ۹ روش اندازه‌گیری ضخامت

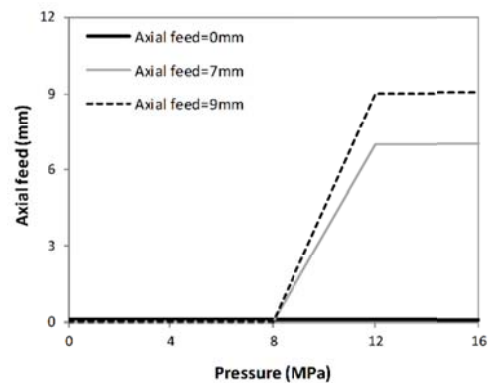
منحنی حد شکل‌دهی. منحنی حد شکل‌دهی مرزی است بین ترکیبات کرنشی که در آنها واماندگی از نوع گلوبی شدن رخ می‌دهد و ترکیبات کرنشی که در شکل‌دهی ورق فلزات قابل قبول هستند. برای به‌دست آوردن منحنی حد شکل‌دهی، مسیرهای بارگذاری کرنشی مختلفی برای ورق ایجاد می‌شود تا کرنش‌های بحرانی تحت حالت‌های مختلف تغییر شکل به‌دست

انتهای لوله نیز انجام می‌گیرد. برای جلوگیری از خروج روغن از فضای بین سنبه و افزونه، واشر نازکی هم در این ناحیه مورداستفاده قرار گرفت که قطر کوچک‌تری نسبت به قطر داخلی لوله دارد.

مشخصات آزمایش‌های تجربی در جدول (۲) آمده است. در این آزمایش‌ها تنها مقدار تغذیه محوری متغیر است. این آزمایش‌ها با هر دو روش آب‌بندی متداول و جدید انجام شده است و مسیر بارگذاری مطابق شکل (۷) است.

جدول ۲ مشخصات آزمایش‌های تجربی

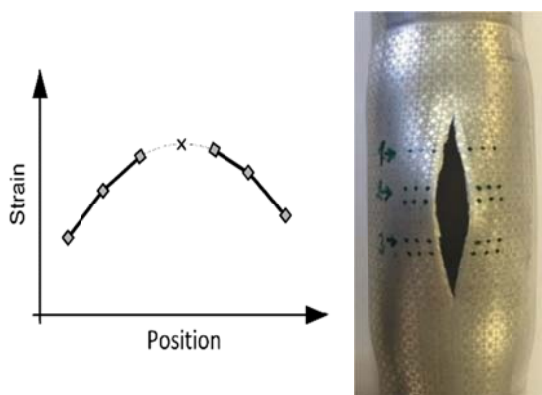
مقدار	پارامتر			
40	D_{out} (mm)	قطر خارجی لوله		
1.5	t (mm)	ضخامت لوله		
200	L (mm)	طول لوله		
60	L_b (mm)	طول بالچ		
9	7	0	F (mm)	تغذیه محوری



شکل ۷ مسیر بارگذاری به‌کار رفته در آزمایش‌های تجربی

اندازه‌گیری هندسه لوله تغییر شکل یافته. برای بررسی هندسه لوله تغییر شکل یافته، قطر و ضخامت آن مورد اندازه‌گیری قرار گرفت. برای اندازه‌گیری قطر لوله، از کولیس دیجیتال با دقت 0.01 میلی‌متر استفاده شد. اندازه‌گیری بر روی مسیری در راستای طولی لوله و بر روی صفحه‌ای عمود بر صفحه گذرنده از محل پارگی انجام گرفت که نحوه انجام اندازه‌گیری در شکل

می‌شود. در ادامه باتوجه به کرنش‌های به‌دست آمده، برای هر یک از کرنش‌های اصلی بزرگ‌تر و کوچک‌تر درون‌یابی انجام می‌شود و جفت کرنش صفحه‌ای ایجادشده در لحظه گلوبی شدن به‌دست می‌آید. برای هر ترک حداقل سه مسیر به این شکل در نظر گرفته می‌شود و اندازه‌گیری انجام می‌گردد. میانگین کرنش‌های بحرانی به‌دست آمده برای این مسیرها برای منحنی حد شکل‌دهی استفاده می‌شود.



شکل ۱۰. روند تعیین کرنش‌های صفحه‌ای در آغاز گلوبی شدن

شکل (۱۱) منحنی حد شکل‌دهی به‌دست‌آمده را برای لوله‌ای از جنس AA6063 با قطر خارجی 40 میلی‌متر و ضخامت 1.5 میلی‌متر نشان می‌دهد. نتایج نشان داد که به‌علت بالج شدن لوله، کرنش در راستای محیطی همواره کششی و مقداری مثبت دارد درحالی‌که کرنش در راستای طولی لوله، از مقداری نزدیک به صفر (عدم اعمال تغذیه محوری) تا مقداری منفی (اعمال تغذیه محوری) تغییر می‌کند. بنابراین کرنش محیطی همواره کرنش اصلی بزرگ‌تر و کرنش طولی، کرنش اصلی کوچک‌تر می‌باشد. باتوجه به فشاری بودن کرنش‌های طولی، نقاط بحرانی گلوبی شدن همواره در سمت چپ فضای کرنش‌های اصلی ظاهر می‌شوند که با استفاده از این نقاط می‌توان منحنی حد شکل‌دهی را برای فرایند هیدروفرمینگ لوله به‌دست آورد.

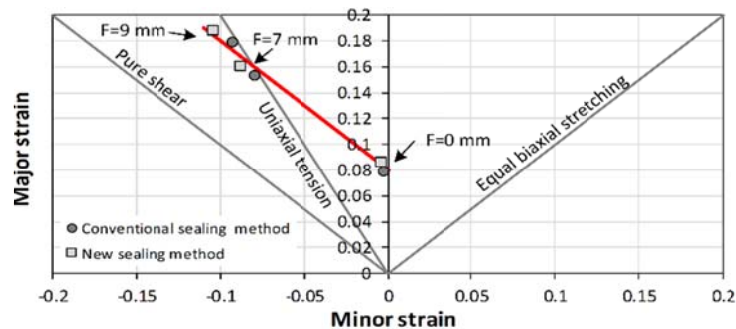
آید و از اتصال آنها به هم منحنی حد شکل‌دهی در فضای کرنش‌های اصلی ایجاد گردد. به‌منظور به‌دست آوردن منحنی حد شکل‌دهی در این پژوهش، از نتایج آزمون بالج آزاد لوله که مشخصات آن در جدول (۲) آمده است، استفاده شد. در این آزمایش‌ها، برای ایجاد حالت‌های کرنشی مختلف، میزان تغذیه محوری متفاوتی اعمال شد. در این آزمایش‌ها، اندازه‌گیری کرنش با استفاده از روش تحلیل گرید دایره‌ای انجام گرفت که اولین بار توسط کالر و گودمن [17,18] ارائه شد. در این روش ابتدا بر روی سطح ورق دایره‌هایی با قطر مشخص (d) ایجاد می‌گردد و پس از آن فرایند شکل‌دهی انجام می‌گیرد. پس از پایان فرایند، به‌علت تغییر شکل پلاستیک، گرید دایره‌ای به بیضی تغییر شکل می‌یابد. حال با اندازه‌گیری قطر بزرگ (a) و قطر کوچک بیضی (b) و استفاده از رابطه (۲) می‌توان کرنش پلاستیک متناظر با هر گرید را محاسبه کرد.

$$\varepsilon_{major} = \ln\left(\frac{a}{d}\right) \quad (1)$$

$$\varepsilon_{minor} = \ln\left(\frac{b}{d}\right) \quad (2)$$

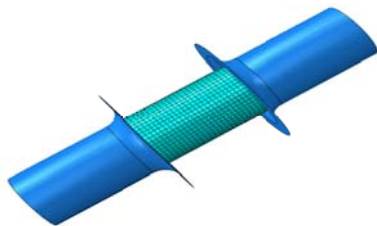
در این پژوهش برای ایجاد گریدهای دایره‌ای با قطر 2.5 میلی‌متر بر روی سطح خارجی لوله از روش حک الکتروشیمیایی استفاده شد. همچنین پس از انجام فرایند، خط‌کش انعطاف‌پذیر مایلر برای اندازه‌گیری قطر گریدهای تغییر شکل یافته به‌کار رفت.

برای اندازه‌گیری جفت کرنش صفحه‌ای در لحظه آغاز گلوبی شدن در این پروژه از روش راسورد [19] استفاده شد. در این روش مطابق با شکل (۱۰) مسیری عمود بر ترک در نظر گرفته می‌شود به‌نحوی‌که در هر طرف ترک سه گرید قرار بگیرد. سپس اندازه‌گیری کرنش بر روی این گریدها در دو طرف ترک انجام



شکل ۱۱ منحنی حد شکل‌دهی برای لوله آلومینیومی از جنس AA6063 با ضخامت 1.5 میلی‌متر

شد و ضریب اصطکاک در شبیه‌سازی‌های مشابه آزمایش‌های تجربی 0.2 تعریف شد. پس از بررسی حساسیت نتایج به‌اندازه المان، ابعاد $2.5\text{mm} \times 2.5\text{mm}$ برای المان‌ها انتخاب شد که در این حالت لوله از 4032 المان تشکیل شده بود. شکل (۱۲) نمایی از مدل ایجاد شده را در نرم‌افزار آباکوس نشان می‌دهد. در این مقاله دو دسته شبیه‌سازی انجام شد. دسته اول، شبیه‌سازی‌هایی هستند که دقیقاً مطابق با آزمایش‌های تجربی انجام شده‌اند و هدف از آنها، بررسی اعتبار نتایج شبیه‌سازی‌ها می‌باشد. دسته دوم، شبیه‌سازی‌هایی هستند که با هدف ارزیابی عملکرد روش آب‌بندی جدید در مقایسه با روش آب‌بندی متداول تحت شرایط فرایندی مختلف انجام شده‌اند. مشخصات شبیه‌سازی‌های دسته دوم در جدول (۳) آمده است. در این شبیه‌سازی‌ها مقدار تغذیه لوله، ضریب اصطکاک و تغذیه محوری متغیر هستند و هر یک در سه سطح در نظر گرفته شده‌اند. منحنی بارگذاری (تغییرات تغذیه محوری نسبت به فشار داخلی) به صورت خطی است.



شکل ۱۲ مدل اجزای محدود آزمون بالچ آزاد لوله

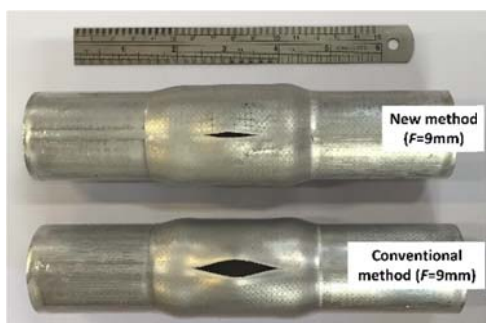
مدل‌سازی اجزای محدود

شبیه‌سازی عددی بالچ آزاد لوله در نرم‌افزار تجاری اجزای محدود آباکوس 6/10/1 انجام گرفت. در این شبیه‌سازی‌ها از حلگر دینامیکی صریح استفاده شد.

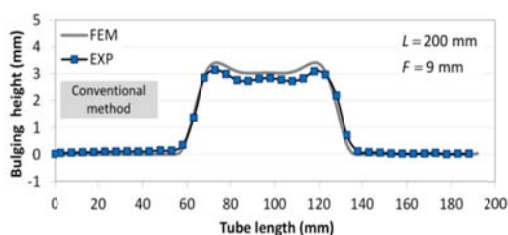
لوله به صورت الاستیک-پلاستیک مدل شد و معادلات ساختاری وابسته به معیار تسلیم ون میزز به کار گرفته شد. برای تعریف رفتار الاستیک ماده، مدول الاستیک و مدول یانگ و برای تعریف رفتار پلاستیک آن منحنی تنش بر حسب کرنش پلاستیک در نرم‌افزار وارد شد. همچنین رفتار سخت‌شوندگی ماده به صورت همسان‌گرد در نظر گرفته شد. برای پیش‌بینی گلویی شدن در شبیه‌سازی‌های اجزای محدود، از معیار FLDCRT استفاده شد. این معیار گلویی شدن را بر مبنای منحنی حد شکل‌دهی پیش‌بینی می‌کند. بنابراین منحنی حد شکل‌دهی به دست آمده از آزمایش‌های تجربی در نرم‌افزار وارد شد.

باتوجه به تغییر شکل ناچیز قالب‌ها، آنها به صورت صلب تحلیلی مدل شدند. برای لوله از المان پوسته (المان S4R در آباکوس) استفاده شد. این المان دارای چهار گره می‌باشد و از روش انتگرال‌گیری کاهش یافته استفاده می‌کند. انتگرال‌گیری در جهت ضخامت به کمک روش سیمپسون و با پتچ نقطه انتگرال‌گیری انجام شد. برای مدل‌سازی شرایط تماسی با اصطکاک، از روش پنالتی استفاده شد. قانون اصطکاک کولمب به کار گرفته

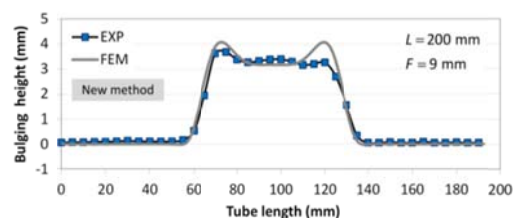
شده است. این تفاوت احتمالاً ناشی از شرایط نامتقارن در دو طرف لوله می‌باشد که در اثر لقی‌های موجود در دستگاه هیدروفورمینگ لوله ایجاد شده است. در روش آب‌بندی جدید برخلاف روش آب‌بندی متداول، ضخامت در ناحیه تغذیه افزایش بسیار کمی یافته است. افزایش ضخامت در ناحیه تغذیه ناشی از مقاومتی است که در برابر جریان فلز در سطح تماس بین لوله و قالب‌ها در اثر نیروی اصطکاک ایجاد می‌شود. این مقاومت در برابر جریان مواد در روش آب‌بندی متداول، دلیل ارتفاع بالج کوچک‌تر به دست آمده در این روش در مقایسه با روش آب‌بندی جدید نیز می‌باشد.



شکل ۱۳. لوله‌های بالج‌شده در آزمون بالج آزاد با روش آب‌بندی متداول و روش آب‌بندی جدید



(الف)



(ب)

شکل ۱۴. مقایسه ارتفاع بالج پیش‌بینی شده در شبیه‌سازی اجزای محدود و اندازه‌گیری شده در آزمایش‌های تجربی: (الف) روش آب‌بندی متداول، (ب) روش آب‌بندی جدید

جدول ۳. مشخصات شبیه‌سازی‌های اجزای محدود

مقدار				پارامتر	
40				D_{out} (mm)	قطر خارجی لوله
1.5				t (mm)	ضخامت لوله
150	200	250	L (mm)	طول لوله	
60				L_b (mm)	طول بالج
0	0.2	0.4	μ	ضریب اصطکاک	
0	6	9	12	F (mm)	تغذیه محوری

نتایج و بحث

صحت‌سنجی مدل اجزای محدود. به منظور صحت‌سنجی مدل اجزای محدود، از آزمایش‌های تجربی با مقدار تغذیه محوری ۹ میلی‌متر استفاده شد که شکل (۱۳) نمایشی از لوله‌های بالج‌شده در این آزمایش‌ها را نشان می‌دهد.

پس از انجام آزمایش‌های تجربی، قطر لوله بالج‌شده اندازه‌گیری شد و با دانستن قطر اولیه آن، میزان افزایش شعاع لوله یا به عبارت دیگر ارتفاع بالج لوله محاسبه گردید. مقایسه بین ارتفاع بالج به دست آمده از آزمایش‌های تجربی و شبیه‌سازی‌های اجزای محدود برای روش آب‌بندی متداول و جدید به ترتیب در شکل (۱۴-الف و ب) آمده است. به‌طور کلی انطباق خوبی بین نتایج شبیه‌سازی و تجربی مشاهده می‌شود. بیشترین تفاوت بین نتایج شبیه‌سازی و تجربی برای گوشه سمت راست ناحیه تغییرشکل در روش آب‌بندی جدید است. نتایج مشخص می‌کند که با استفاده از روش آب‌بندی جدید ارتفاع بالج در ناحیه تغییرشکل چه در شبیه‌سازی اجزای محدود و چه در آزمایش‌های تجربی افزایش یافته است.

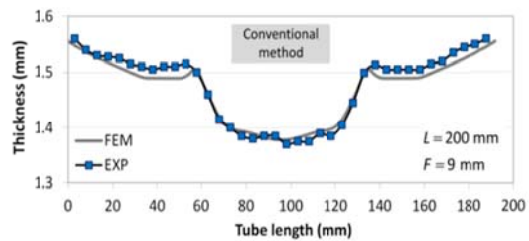
شکل (۱۵-الف و ب) به ترتیب مقایسه بین ضخامت به دست آمده از آزمایش‌های تجربی و شبیه‌سازی‌های اجزای محدود را برای روش آب‌بندی متداول و جدید نشان می‌دهد. نتایج نشان می‌دهد انطباق بین نتایج شبیه‌سازی و تجربی مطلوب است و بیشترین تفاوت مانند ارتفاع بالج در گوشه سمت راست ناحیه تغییرشکل در روش آب‌بندی جدید ایجاد

اعمال نمی‌گردد، جریان مواد از ناحیه تغذیه به سمت ناحیه تغییر شکل ناچیز است. بنابراین نیروی اصطکاک به عنوان نیروی مخالف در برابر جریان طولی مواد بر میزان بالچ لوله اثر نمی‌گذارد. این در حالی است که با اعمال تغذیه محوری و افزایش جریان مواد، اثر نیروی اصطکاک بر میزان بالچ لوله افزایش می‌یابد. این نتایج را همچنین می‌توان با استفاده از شکل (۹) که در آن کرنش‌های گلوبی شدن برای هر آزمایش مشخص شده است، توجیه کرد. مطابق شکل (۹)، هنگامی که تغذیه محوری اعمال نمی‌شود به علت ناچیز بودن جریان طولی، گلوبی شدن در دو روش آب‌بندی در کرنش‌های تقریباً برابر و نزدیک به حالت کرنش صفحه‌ای ($\epsilon_1 = -\epsilon_3, \epsilon_2 = 0$) روی می‌دهد در حالی که با اعمال تغذیه محوری و افزایش مقدار آن، به علت برقراری جریان طولی مواد، حالت تغییر شکل از کرنش صفحه‌ای به سمت حالت کشش تک‌محوری ($\epsilon_1 = -2\epsilon_2 = -2\epsilon_3$) پیش می‌رود که منجر به افزایش مقدار جفت کرنش بحرانی در هر دو روش آب‌بندی می‌شود. به همین دلیل ارتفاع بالچ با افزایش تغذیه محوری در هر دو روش افزایش می‌یابد.

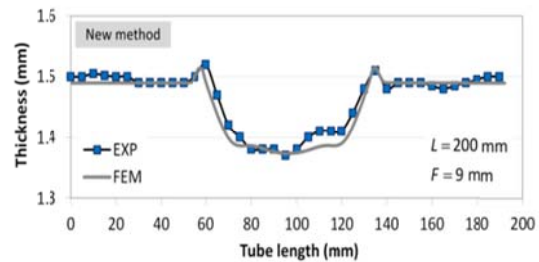
از آنجایی که به ازای یک میزان تغذیه محوری مشخص، در روش آب‌بندی جدید جریان طولی مواد بیشتری در مقایسه با روش آب‌بندی متداول ایجاد می‌شود، گلوبی شدن در روش آب‌بندی جدید در کرنش‌های بحرانی بالاتری روی می‌دهد و به همین علت ارتفاع بالچ بزرگ‌تری در این روش آب‌بندی در مقایسه با روش آب‌بندی متداول شکل می‌گیرد.

اثر ضریب اصطکاک بر عملکرد روش آب‌بندی

جدید در مقایسه با روش آب‌بندی متداول. شکل (۱۶) توزیع ارتفاع بالچ در راستای طولی لوله را در لحظه گلوبی شدن به ازای ضرایب اصطکاک مختلف نشان می‌دهد. مطابق شکل (۱۶)، با افزایش ضریب اصطکاک در روش آب‌بندی متداول، ارتفاع بالچ کاهش می‌یابد در حالی که در روش آب‌بندی جدید، ارتفاع بالچ ثابت باقی می‌ماند. این روند به نحوی است که در



(الف)



(ب)

شکل ۱۵ مقایسه ضخامت پیش‌بینی شده در شبیه‌سازی اجزای محدود و اندازه‌گیری شده در آزمایش‌های تجربی: (الف) روش آب‌بندی متداول، (ب) روش آب‌بندی جدید

اثر روش آب‌بندی بر ارتفاع بالچ در آزمایش‌های تجربی. در آزمایش‌های تجربی مقدار ارتفاع بالچ در وسط لوله در صفحه‌ای عمود بر صفحه عبورکننده از محل پارگی اندازه‌گیری شد. نتایج به دست آمده از این اندازه‌گیری‌ها در جدول (۴) آمده است.

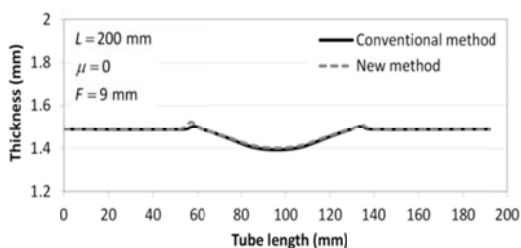
جدول ۴ مقایسه بین ارتفاع بالچ به دست آمده از آزمایش‌های تجربی با استفاده از روش آب‌بندی متداول و روش آب‌بندی جدید

مقدار تغذیه F (mm)	ارتفاع بالچ در وسط لوله (mm)		افزایش ارتفاع بالچ (%)
	آب‌بندی متداول	آب‌بندی جدید	
0	1.11	1.12	0.9
7	2.1	2.32	10.48
9	2.85	3.39	18.95

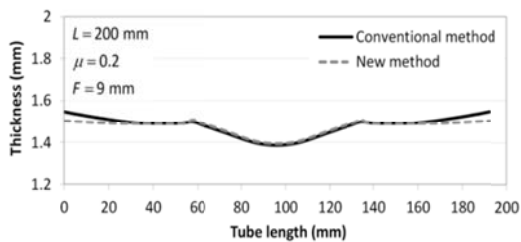
نتایج نشان می‌دهد هنگامی که تغذیه محوری اعمال نمی‌شود افزایش ارتفاع بالچ لوله در روش آب‌بندی جدید در مقایسه با روش آب‌بندی متداول بسیار کوچک است اما با اعمال تغذیه محوری مقدار آن افزایش می‌یابد. زیرا هنگامی که تغذیه محوری

ناحیه تغذیه، به ویژه در دو انتهای لوله، می‌گردد. به همین دلیل، همان‌طور که در شکل (۱۶) نشان داده شد، در این روش آب‌بندی با افزایش ضریب اصطکاک ارتفاع بالج کاهش می‌یابد.

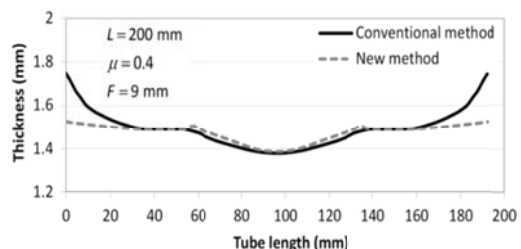
در روش آب‌بندی جدید، به علت حذف فشار داخلی در ناحیه تغذیه، نیروی اصطکاک در سطح تماس لوله و قالب حذف می‌گردد، بنابراین جریان طولی مواد تحت تأثیر اصطکاک قرار نمی‌گیرد و ضخامت در ناحیه تغذیه تقریباً بدون تغییر باقی می‌ماند. بر همین دلیل در روش آب‌بندی جدید ارتفاع بالج با افزایش ضریب اصطکاک ثابت باقی می‌ماند و با توجه به کاهش ارتفاع بالج در روش آب‌بندی متداول، اختلاف ارتفاع بالج بین دو روش افزایش می‌یابد.



(الف)



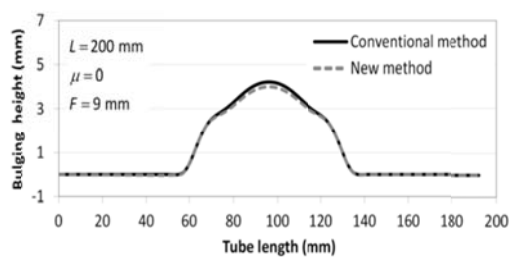
(ب)



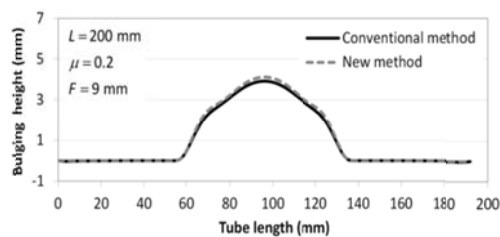
(پ)

شکل ۱۷ مقایسه بین ضخامت پیش‌بینی شده در شبیه‌سازی اجزای محدود برای روش آب‌بندی متداول و روش آب‌بندی جدید: (الف) $\mu = 0$ ، (ب) $\mu = 0.2$ ، (پ) $\mu = 0.4$

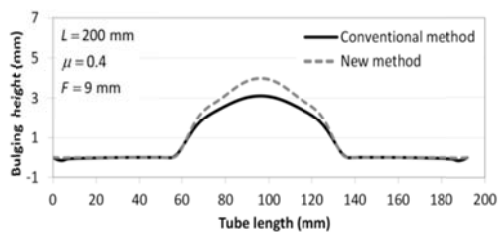
ضریب اصطکاک 0.4 ارتفاع بالج وسط لوله در روش آب‌بندی جدید به میزان 28.13% بیشتر از روش آب‌بندی متداول است. لازم به ذکر است که زمانی که ضریب اصطکاک برابر با صفر است، ارتفاع بالج وسط لوله در روش آب‌بندی جدید به میزان 5.13% کوچک‌تر از روش آب‌بندی متداول است.



(الف)



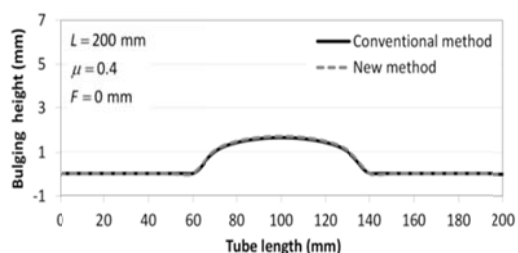
(ب)



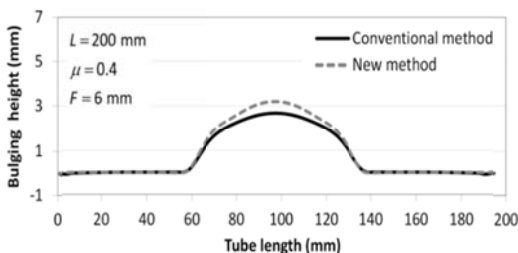
(پ)

شکل ۱۶ مقایسه بین ارتفاع بالج پیش‌بینی شده در شبیه‌سازی اجزای محدود برای روش آب‌بندی متداول و روش آب‌بندی جدید: (الف) $\mu = 0$ ، (ب) $\mu = 0.2$ ، (پ) $\mu = 0.4$

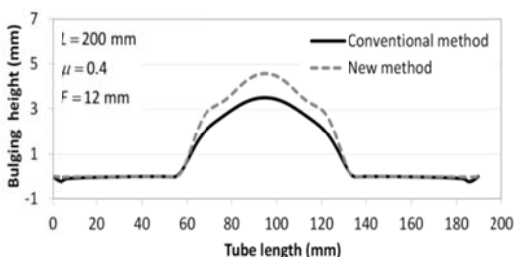
شکل (۱۷) توزیع ضخامت در راستای طولی لوله را در لحظه گلوپی شدن به‌ازای ضرایب اصطکاک مختلف نشان می‌دهد. در روش آب‌بندی متداول با افزایش ضریب اصطکاک، به‌علت افزایش نیروی اصطکاک در سطح تماس لوله با قالب، جریان مواد از ناحیه تغذیه به ناحیه تغییرشکل دشوارتر می‌شود به‌طوری که تغذیه محوری سبب افزایش ضخامت در



(الف)



(ب)



(پ)

شکل ۱۸ مقایسه بین ارتفاع بالج پیش‌بینی شده در شبیه‌سازی اجزای محدود برای روش آب‌بندی متداول و روش آب‌بندی

جدید: (الف) $F = 0 \text{ mm}$, (ب) $F = 6 \text{ mm}$

(پ) $F = 12 \text{ mm}$

با اعمال تغذیه محوری و افزایش مقدار آن، در روش آب‌بندی متداول ضخامت ناحیه تغذیه افزایش می‌یابد در حالی که در روش آب‌بندی جدید ضخامت ناحیه تغذیه تقریباً ثابت باقی می‌ماند. علت این امر آن است با اعمال تغذیه محوری، در روش آب‌بندی متداول به علت مقاومت نیروی اصطکاک در برابر جریان طولی مواد، مواد ناگزیر در راستای ضخامت جریان می‌یابند که منجر به افزایش ضخامت در ناحیه تغذیه روش آب‌بندی متداول می‌گردد. در روش آب‌بندی متداول، هر چه میزان تغذیه محوری بیشتر شود ضخامت در ناحیه تغذیه افزایش بیشتری می‌یابد

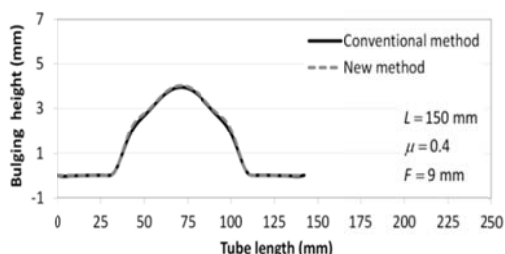
در شرایطی که اصطکاک برابر با صفر است، همان‌گونه که در شکل (۱۷-الف) مشاهده می‌شود، توزیع ضخامت در هر دو روش آب‌بندی تقریباً یکسان است و دیگر افزایش ضخامت در روش آب‌بندی متداول روی نمی‌دهد. تحت این شرایط، میزان تغییر شکل لوله در روش متداول بیشتر از روش جدید است. زیرا در روش آب‌بندی متداول اعمال فشار محیطی در ناحیه تغذیه سبب می‌شود که جریان طولی مواد در راستای طولی لوله در مقایسه با روش آب‌بندی جدید تسهیل گردد. به همین علت زمانی که ضریب اصطکاک برابر با صفر است، ارتفاع بالج در روش آب‌بندی متداول کمی بیشتر از ارتفاع بالج در روش آب‌بندی جدید است.

اثر تغذیه محوری بر عملکرد روش آب‌بندی جدید

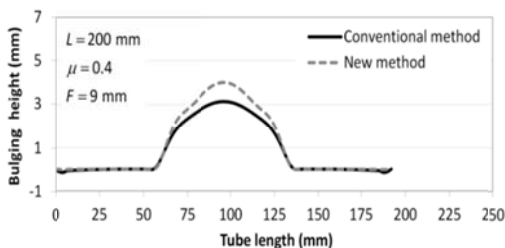
در مقایسه با روش آب‌بندی متداول. شکل (۱۸) توزیع ارتفاع بالج در راستای طولی لوله را در لحظه گلویی شدن به‌ازای تغذیه محوری‌های مختلف نشان می‌دهد. نتایج نشان می‌دهد هنگامی که تغذیه محوری اعمال نمی‌گردد، ارتفاع بالج در هر دو روش یکسان هستند اما با اعمال تغذیه محوری و افزایش مقدار آن، ارتفاع بالج در هر دو روش آب‌بندی افزایش می‌یابد ولی مقدار افزایش ارتفاع بالج در روش آب‌بندی جدید بیشتر از روش آب‌بندی متداول است. این روند به‌نحوی است که در تغذیه محوری ۱۲ میلی‌متر اختلاف ارتفاع بالج وسط لوله دو روش به ۳۰.۲۴٪ می‌رسد.

توزیع ضخامت در راستای طولی لوله در لحظه گلویی شدن به‌ازای تغذیه محوری‌های مختلف در شکل (۱۹) نشان داده شده است. نتایج نشان می‌دهد هنگامی که تغذیه محوری اعمال نمی‌گردد، توزیع ضخامت در هر دو روش آب‌بندی یکسان است. زیرا نیرویی از طرف سنبه‌ها اعمال نمی‌شود که منجر به ایجاد جریان طولی مواد در ناحیه تغذیه گردد. بنابراین وجود یا عدم وجود نیروی اصطکاک در سطح تماس لوله و قالب بر جریان مواد بی‌تأثیر است.

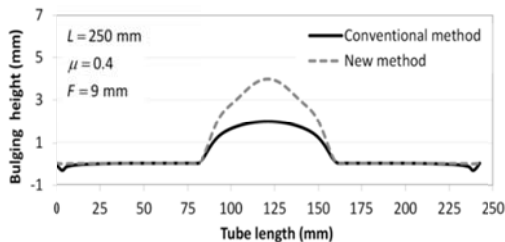
روش آب‌بندی تقریباً برابر است اما در طول لوله 250 میلی‌متر اختلاف ارتفاع بالج وسط لوله به 102.37% می‌رسد.



(الف)



(ب)



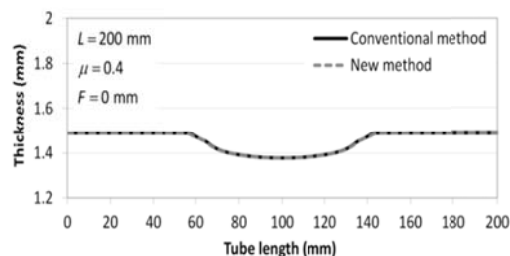
(پ)

شکل ۲۰ مقایسه بین ارتفاع بالج پیش‌بینی شده در شبیه‌سازی اجزای محدود برای روش آب‌بندی متداول و روش آب‌بندی جدید: (الف) $L = 150 \text{ mm}$, (ب) $L = 200 \text{ mm}$, (پ)

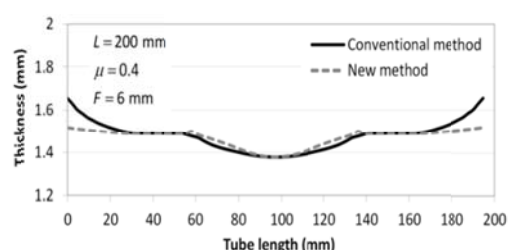
(ب) $L = 250 \text{ mm}$

شکل (۲۱) توزیع ضخامت در راستای طولی لوله را در لحظه گلوئی شدن به‌ازای طول‌های مختلف لوله نشان می‌دهد. در روش آب‌بندی متداول، با افزایش طول لوله، ضخامت لوله در ناحیه تغذیه و به‌ویژه در دو انتهای لوله افزایش می‌یابد. زیرا با افزایش طول ناحیه تغذیه، به‌علت افزایش سطح تماس لوله و قالب، نیروی اصطکاک در سطح تماس لوله و قالب افزایش می‌یابد، بنابراین مقاومت در برابر جریان طولی مواد نیز

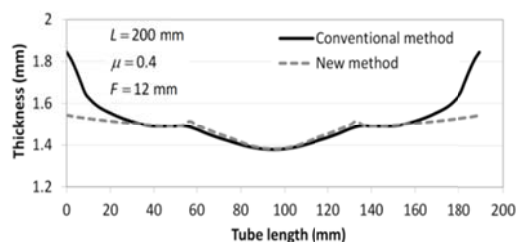
و در نتیجه ارتفاع بالج آن در مقایسه با روش آب‌بندی جدید کاهش می‌یابد.



(الف)



(ب)



(پ)

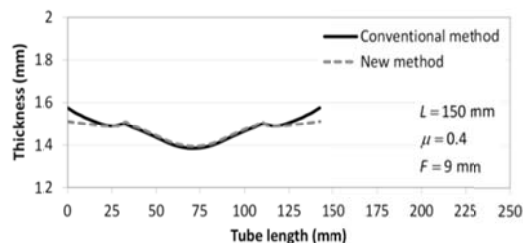
شکل ۱۹ مقایسه بین ضخامت پیش‌بینی شده در شبیه‌سازی اجزای برای روش آب‌بندی متداول و روش آب‌بندی جدید (الف) $F = 0 \text{ mm}$, (ب) $F = 6 \text{ mm}$, (پ) $F = 12 \text{ mm}$

اثر طول لوله بر عملکرد روش آب‌بندی جدید در مقایسه با روش آب‌بندی متداول. شکل (۲۰) توزیع ارتفاع بالج در راستای طولی لوله را در لحظه گلوئی شدن به‌ازای طول‌های مختلف لوله نشان می‌دهد. در این شبیه‌سازی‌ها طول بالج ثابت است. بنابراین با افزایش طول لوله، طول ناحیه تغذیه افزایش می‌یابد. نتایج نشان می‌دهد با افزایش طول لوله در روش آب‌بندی متداول، ارتفاع بالج کاهش می‌یابد در حالی که در روش آب‌بندی جدید، ارتفاع بالج ثابت باقی می‌ماند. ارتفاع بالج در طول لوله 150 میلی‌متر در دو

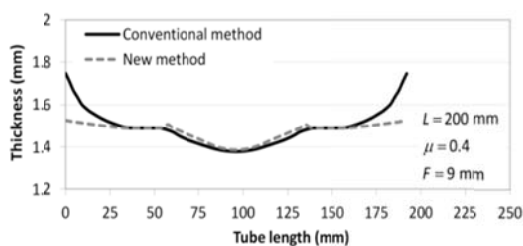
نتیجه‌گیری

در این مقاله روش آب‌بندی جدیدی برای فرایند هیدروفورمینگ لوله به‌کار گرفته شد. در این روش، آب‌بندی از ابتدای ناحیه تغییر شکل صورت گرفت تا فشار داخلی در ناحیه تغذیه اعمال نشود و بدین ترتیب نیروی اصطکاک در سطح تماس لوله و قالب حذف گردد. این روش آب‌بندی با استفاده از افزونه‌های ویژه‌ای که به سنبه‌های متداول فرایند هیدروفورمینگ لوله افزوده می‌شود، پیاده‌سازی شد. نتایج آزمون بالچ آزاد لوله نشان داد هنگامی که تغذیه محوری اعمال می‌گردد، به علت جریان طولی راحت‌تر مواد در روش آب‌بندی جدید، گلوبی شدن در کرنش‌های بزرگ‌تری در مقایسه با روش آب‌بندی متداول روی می‌دهد و به همین دلیل در روش آب‌بندی جدید ارتفاع بالچ بزرگ‌تری شکل می‌گیرد. با استفاده از جفت کرنش‌های بحرانی اندازه‌گیری شده، منحنی حد شکل‌دهی به‌دست آمد که از آن برای پیش‌بینی گلوبی شدن در شبیه‌سازی اجزای محدود استفاده شد. صحت شبیه‌سازی اجزای محدود نیز از طریق مقایسه توزیع ضخامت و ارتفاع بالچ با نتایج آزمایش‌های تجربی تأیید شد. نتایج شبیه‌سازی‌ها نشان داد با افزایش ضریب اصطکاک، تغذیه محوری و طول لوله، ارتفاع بالچ در روش آب‌بندی جدید در مقایسه با روش آب‌بندی متداول افزایش می‌یابد به طوری که ارتفاع بالچ به بیش از دو برابر ارتفاع بالچ روش آب‌بندی متداول می‌رسد. زیرا با افزایش این پارامترها جریان طولی مواد در روش آب‌بندی متداول در مقایسه با روش آب‌بندی جدید، دشوارتر می‌گردد که افزایش ضخامت در ناحیه تغذیه روش آب‌بندی متداول را نیز در پی دارد. بنابراین با توجه به نتایج به‌دست آمده این روش آب‌بندی برای فرایند هیدروفورمینگ لوله توصیه می‌گردد.

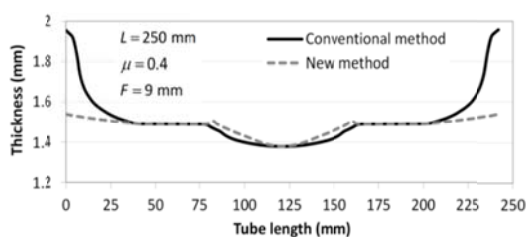
بیشتر می‌شود که نتیجه آن افزایش ضخامت در ناحیه تغذیه لوله و کاهش ارتفاع بالچ لوله است.



(الف)



(ب)



(پ)

شکل ۲۱ مقایسه بین ضخامت پیش‌بینی شده در شبیه‌سازی اجزای محدود برای روش آب‌بندی متداول و روش آب‌بندی جدید، (الف) $L = 150$ mm، (ب) $L = 200$ mm، (پ) $L = 250$ mm

در روش آب‌بندی جدید، از آنجایی که فشار داخلی در ناحیه تغذیه اعمال نمی‌گردد، افزایش طول ناحیه تغذیه بر نیروی اصطکاک اثر نمی‌گذارد. بنابراین جریان طولی و به تبع آن توزیع ضخامت و ارتفاع بالچ تحت تأثیر قرار نمی‌گیرد.

مراجع

- Plancak, M., Vollertsen, F. and Woitschig, J., "Analysis, finite element simulation and experimental investigation of friction in tube hydroforming", *Journal of Materials Processing Technology*, Vol. 170, pp. 220-228, (2005).
- Ngaile, G. and Yang, C., "Analytical model for the characterization of the guiding zone tribotest for

- tube hydroforming", *Journal of Manufacturing Science and Engineering*, Vol. 131, pp. 591-600, (2009).
3. Vollertsen, F. and Plancak, M., "On possibilities for the determination of the coefficient of friction in hydroforming of tubes", *Journal of Materials Processing Technology*, Vol. 125, pp. 412-420, (2002).
 4. Koc, M., "Tribological Issues in the Tube Hydroforming Process—Selection of a Lubricant for Robust Process Conditions for an Automotive Structural Frame Part", *Journal of Manufacturing Science and Engineering*, Vol. 125, pp. 484-492, (2003).
 5. Prier, M. and Schmoeckel, D., "Tribology of internal high pressure forming", MAT-INFO Werkstoff-Informationsgesellschaft mbH, Humburger Allee, Vol. 26, pp. 379-390, (1999).
 6. Yi, H.K., Yim, H.S., Lee, G.Y., Lee, S.M., Chung and G.S. and Moon, Y.H., "Experimental investigation of friction coefficient in tube hydroforming", *Transactions of Nonferrous Metals Society of China*, Vol. 21, pp. 194-198, (2011).
 7. Fiorentino, A., Ceretti, E. and Giardini, C., "Tube hydroforming compression test for friction estimation—numerical inverse method, application, and analysis", *The International Journal of Advanced Manufacturing Technology*, Vol. 64, pp. 695-705, (2013).
 8. Yang, L., Wu, C. and He, Y., "Dynamic frictional characteristics for the pulsating hydroforming of tubes", *International Journal of Advanced Manufacturing Technology*, Vol. 86, pp. 347-357, (2015).
 9. Abdelkefi, A., Malécot, P., Boudeau, N., Guermazi, N. and Haddar, N., "Evaluation of the friction coefficient in tube hydroforming with the "corner filling test" in a square section die", *The International Journal of Advanced Manufacturing Technology*, Vol. 88, pp. 2265-2273, (2017).
 10. Orban, H. and Hu, S.J., "Analytical modeling of wall thinning during corner filling in structural tube hydroforming", *Journal of Materials Processing Technology*, Vol. 194, pp. 7-14, (2007).
 11. Xu, X., Zhang, W., Li, S. and Lin, Z., "Study of tube hydroforming in a trapezoid-sectional die", *Thin-Walled Structures*, Vol. 47, pp. 1397-1403, (2009).
 12. Nikhare, C., Weiss, M. and Hodgson, P.D., "FEA comparison of high and low pressure tube hydroforming of TRIP steel", *Computational Materials Science*, Vol. 47, pp. 146-152, (2009).
 13. Fiorentino, A., Ceretti, E., Braga, D. and Marzi, R., "Friction in asymmetric feeding tube hydroforming", *International Journal of Material Forming*, Vol. 3, pp. 275-278, (2010).
 14. Abdelkefi, A., Guermazi, N., Boudeau, N., Malécot, P. and Haddar, N., "Effect of the lubrication between the tube and the die on the corner filling when hydroforming of different cross-sectional shapes", *International Journal of Advanced Manufacturing Technology*, Vol. 87, pp. 1169-1181, (2016).
 15. Fiorentino, A., Ceretti, E., Attanasio, A., Braga, D. and Giardini, C., "Experimental study of lubrication influence in the production of hydroformed T-joint tubes", *Key Engineering Materials*, Vol. 410, pp. 15-24, (2009).
 16. Hashemi, S. J., Moslemi Naeini, H., Liaghat, G. H. and Azizi Tafti, R., "Prediction of bulge height in warm hydroforming of aluminum tubes using ductile fracture criteria", *Archives of Civil and Mechanical Engineering*, Vol. 15(1), pp. 19-29, (2015).
 17. Keeler, S.P., "Circular grid system—a valuable aid for evaluating sheet metal formability", *SAE Technical Paper*, (1968).
 18. Goodwin, G.M., "Application of strain analysis to sheet metal forming problems in the press shop", *SAE Technical Paper*, No. 680093, (1968).
 19. Kasaei, M.M., Moslemi Naeini, H., Liaghat, G.H., Silva, C.M.A., Silva, M.B. and Martins, P.A.F., "Revisiting the wrinkling limits in flexible roll forming", *The Journal of Strain Analysis for Engineering Design*, Vol. 50, pp. 528-54, (2015).